

Lección 3: Descriptores de forma

1. Dependientes de la posición

- Rectángulo envolvente
- Centroide
- Orientación

2. Independientes de la posición

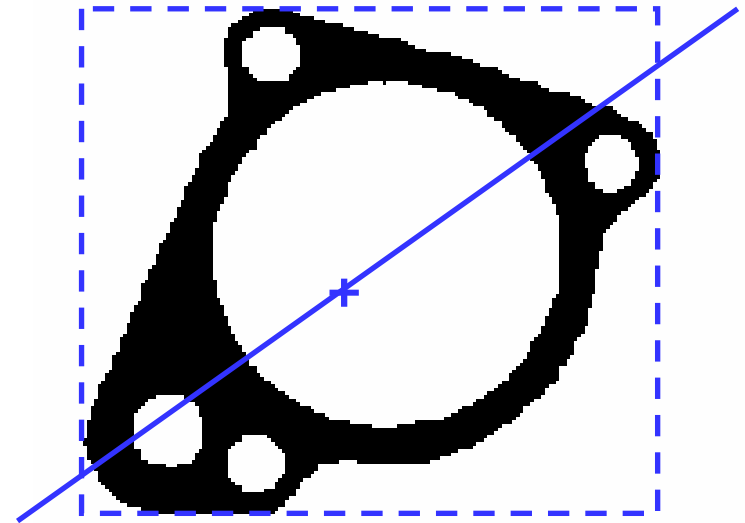
- Momentos de imagen
- Perímetro
- Elongación
- No. de Euler



Introducción: descriptores

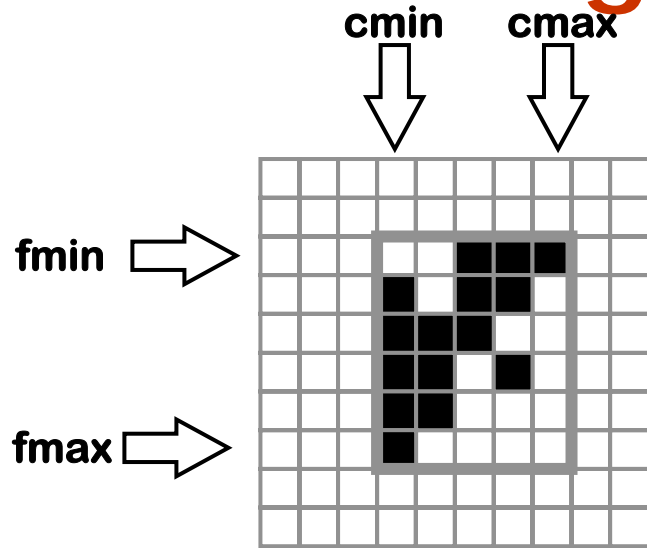
- Propiedades que permiten **identificar** y **localizar** objetos:
 - Dependientes de la posición
 - » Rectángulo envolvente
 - » Centroide
 - » Orientación
 - Independientes de la posición
 - » Momentos de imagen
 - » Perímetro
 - » Elongación
 - » Agujeros (No. de Euler)
- La identificación de objetos basada en descriptores es posible cuando:
 - No. limitado y conocido
 - Posiciones estables
 - Aislados
 - **Completamente visibles**

- Objetos caracterizados por su silueta:

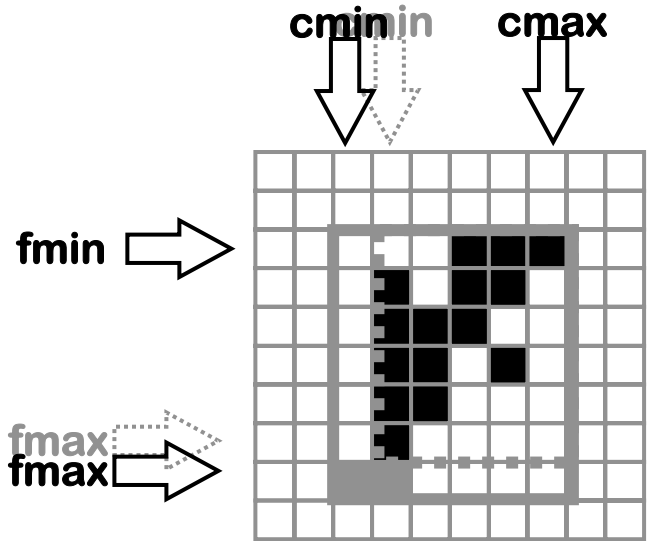


- Muchos descriptores pueden calcularse durante el análisis de conectividad

Rectángulo Envolvente



Sensible al ruido



- Es sencillo de calcular durante el análisis de conectividad:

```
crear_blob(s):  
    fmin = fmax = FILA(s)  
    cmin = COLUMNA(s)  
    cmax = FINAL(s)  
  
anadir_segmento_a_blob(b,s):  
    si fmin > FILA(s)  
        fmin = FILA(s)  
    fsi  
    ....  
  
fusionar_blobs(b1, b2):  
    fmin = min(fmin1, fmin2)  
    fmax = max(fmax1, fmax2)  
    cmin = min(cmin1, cmin2)  
    cmax = max(cmax1, cmax2)
```

- Invariante a:
 - ¿traslación?
 - ¿rotación?
 - ¿escala?



Momentos de imagen


- **Definición:** momentos de una función continua:

$$m_p = \int_{-\infty}^{\infty} x^p f(x) dx$$

$$p = 0, 1, 2, \dots$$

- $P(\mathbf{x})$, valor esperado (**media**):

$$m_1 = \int_{-\infty}^{\infty} x P(x) dx = \mu$$


$$m_0?$$

- Momentos centrales:

$$m'_p = \int_{-\infty}^{\infty} (x - \mu)^p f(x) dx$$

$$p = 0, 1, 2, \dots$$

- $P(\mathbf{x})$, **varianza**:

$$m'_2 = \int_{-\infty}^{\infty} (x - \mu)^2 P(x) dx = \sigma^2$$


$$m'_3? \quad m'_4?$$

- En R^2 :

$$m_{p,q} = \int_{-\infty}^{\infty} \int_{-\infty}^{\infty} x^p y^q f(x, y) dx dy$$

$$p, q = 0, 1, 2, \dots$$

- **Teorema de la unicidad:**

la secuencia $\{m_{p,q}\}$ está unívocamente determinada por $f(\mathbf{x}, \mathbf{y})$.

$\{m_{p,q}\}$ caracterizan de forma única a una función



Momentos de imagen

- Para **imagenes binarias digitales**, son sumatorios de productos de potencias de las coordenadas de los pixels:

$$m_{p,q} \simeq \sum i^p j^q$$

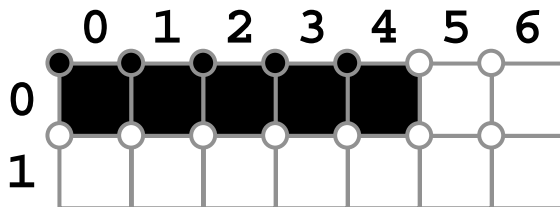
De orden 0: $\sum 1$ No. de pixels

1: $\sum i \sum j$

2:

Caracterizan de forma única a un objeto.

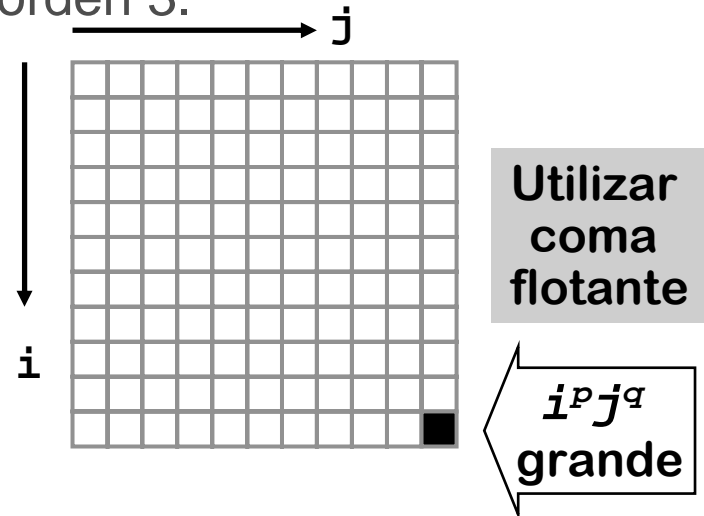
- Convención en la digitalización:



- Teniendo en cuenta la calibración: si S_x (S_y) es la distancia que debe moverse un punto en la escena, en la dirección \mathbf{x} (\mathbf{y}) para moverse un pixel en la imagen:

$$\text{Area} = S_x S_y \sum 1$$

- Por razones de precisión, se utilizan los momentos hasta de orden 3.

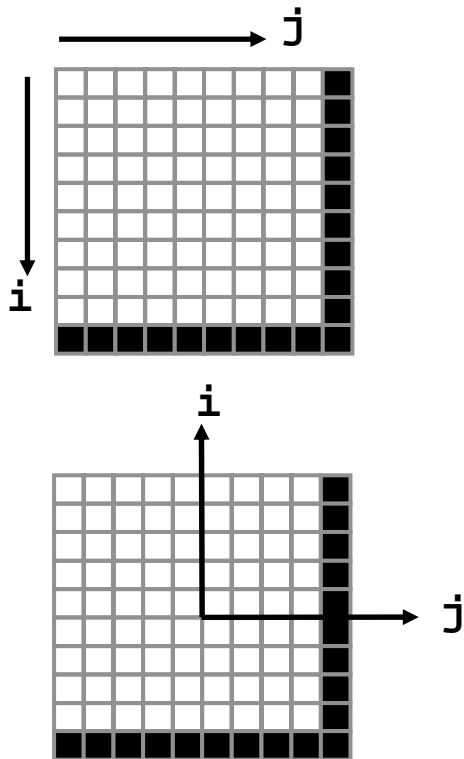


- ¿invariantes a traslación? ¿a rotación? ¿a cambio de escala?



Momentos de imagen

- También por razones de precisión, se puede colocar el origen del sistema de referencia en el centro de la imagen.



Valores mas pequeños,
positivos y negativos.

- Pueden calcularse por segmentos durante la conectividad:

$$\begin{array}{l} \text{LONGITUD}(s) \\ \overbrace{\hspace{10em}} \\ i = \text{FILA}(s) \quad \blacksquare \blacksquare \blacksquare \blacksquare \blacksquare \blacksquare \blacksquare \blacksquare \blacksquare \blacksquare \\ j = \text{COLUMNA}(s) \quad \text{FINAL}(s) \\ m_{0,0,s} = \\ m_{1,0,s} = \\ m_{2,0,s} = \\ \dots \end{array}$$

- Cálculo eficiente:

```
#define M max(R,C)
long x2[M], x3[M];

void precalcular_potencias()
{
    long i;

    for (i = 0; i < M; i++)
        x3[i] = i * (x2[i] = i*i);
}
```



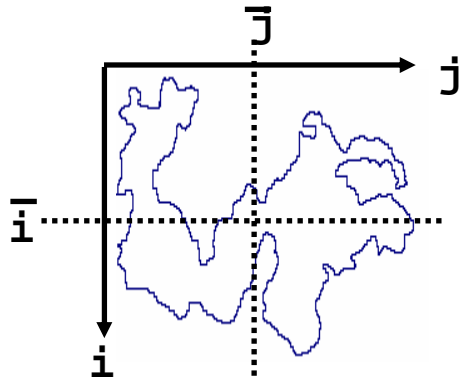
Centroide

- Objetos planos, densidad uniforme del material:

Promedios de i y j :

$$\bar{i} = \frac{\sum i}{\sum 1} =$$

$$\bar{j} = \frac{\sum j}{\sum 1} =$$



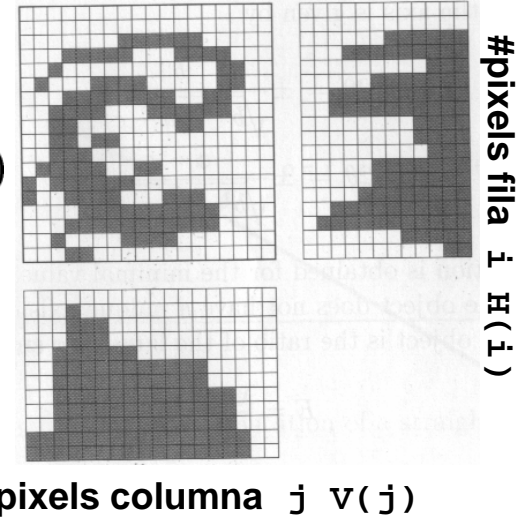
Utilizar coma flotante

- Puede no ser interior al objeto

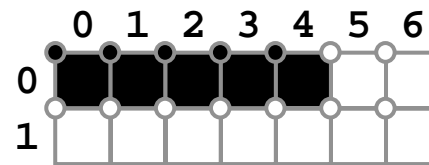
- Puede obtenerse de las proyecciones

$$H(i) = \sum_{j=0}^{C-1} B(i, j)$$

$$\bar{i} = \frac{\sum i \cdot H(i)}{\sum H(i)}$$



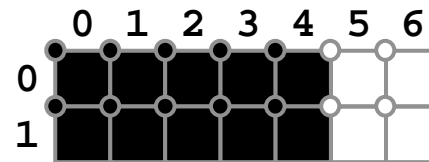
- Efecto de la digitalización:



$$\sum 1 = ?$$

$$\sum i = ?$$

$$\sum j = ?$$



$$\bar{i} = ?$$

$$\bar{j} = ?$$



Momentos centrales

- **Momentos centrales:**

Calculados con respecto al centroide:

$$\mu_{p,q} = \sum (i - \bar{i})^p (j - \bar{j})^q$$

$$\mu_{0,0} = m_{0,0}$$

$$\mu_{1,0} =$$

$$\mu_{2,0} =$$

$$\mu_{1,1} =$$

$$\mu_{0,2} =$$

...

- Son invariantes a traslaciones:

$$i' = i + a$$

$$\bar{i}' = \frac{\sum i'}{\sum 1}$$

=

=

$$\bar{j}' = \dots$$

$$\mu'_{p,q} = \sum (i' - \bar{i}')^p (j' - \bar{j}')^q$$

...

$$= \sum (i - \bar{i})^p (j - \bar{j})^q$$

$$= \mu_{p,q}$$



Momentos normalizados

- **Momentos normalizados**
(ajuste de escala):

$$\eta_{p,q} = \frac{\mu_{p,q}}{\mu_{0,0}^\gamma}$$
$$\gamma = \frac{p+q}{2} + 1$$

- p.e., el área:

$$\eta_{0,0} = \frac{\mu_{0,0}}{\mu_{0,0}^1}$$
$$= 1$$

- Invariantes a cambios de escala
(no se distinguen tamaños diferentes):

$$i' = \alpha i$$

$$\bar{i}' = \frac{\sum i'}{\sum 1}$$
$$= \frac{\alpha \sum i}{\sum 1}$$
$$= \alpha \bar{i}$$

$$\bar{j}' = \dots$$

$$\mu'_{p,q} = \frac{\sum (i' - \bar{i}')^p (j' - \bar{j}')^q}{\mu_{0,0}^\gamma}$$
$$\dots$$



Momentos invariantes

- **Momentos invariantes a traslaciones y rotaciones:**

$$\phi_0 = \mu_{0,0}$$

$$\phi_1 = \mu_{2,0} + \mu_{0,2}$$

$$\phi_2 = (\mu_{2,0} - \mu_{0,2})^2 + 4\mu_{1,1}^2$$

$$\phi_3 = (\mu_{3,0} - 3\mu_{1,2})^2 + (3\mu_{2,1} - \mu_{0,3})^2$$

$$\phi_4 = (\mu_{3,0} + \mu_{1,2})^2 + (\mu_{2,1} + \mu_{0,3})^2$$

$$\phi_5 = (\mu_{3,0} - 3\mu_{1,2})(\mu_{3,0} + \mu_{1,2}) \left[(\mu_{3,0} + \mu_{1,2})^2 - 3(\mu_{2,1} + \mu_{0,3})^2 \right] \\ + (3\mu_{2,1} - \mu_{0,3})(\mu_{2,1} + \mu_{0,3}) \left[3(\mu_{3,0} + \mu_{1,2})^2 - (\mu_{2,1} + \mu_{0,3})^2 \right]$$

$$\phi_6 = (\mu_{2,0} - \mu_{0,2}) \left[(\mu_{3,0} + \mu_{1,2})^2 - (\mu_{2,1} + \mu_{0,3})^2 \right] \\ + 4\mu_{1,1}(\mu_{3,0} + \mu_{1,2})(\mu_{2,1} + \mu_{0,3})$$

- Para distinguir objetos de su reflejo:

$$\phi_7 = (3\mu_{2,1} - \mu_{0,3})(\mu_{3,0} + \mu_{1,2}) \left[(\mu_{3,0} + \mu_{1,2})^2 - 3(\mu_{2,1} + \mu_{0,3})^2 \right] \\ + (\mu_{3,0} - 3\mu_{1,2})(\mu_{2,1} + \mu_{0,3}) \left[3(\mu_{3,0} + \mu_{1,2})^2 - (\mu_{2,1} + \mu_{0,3})^2 \right]$$

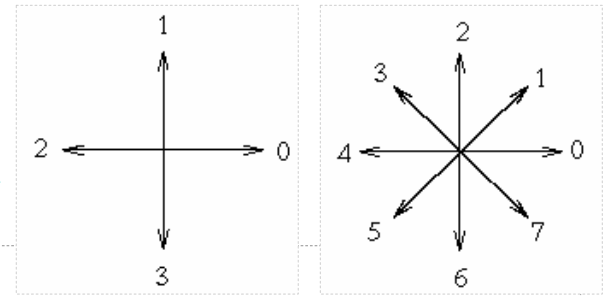
- ¿invariantes a cambios de escala? usar η en vez de μ .
- ¿legibilidad? logaritmo del valor absoluto

$$\psi_i = \log | \phi_i |, \quad i = 0, 1, \dots, 7$$



Perímetro

- Medida relacionada con la **frontera** del blob.



Obtencion de la frontera:

1. Buscar P_0 , el pixel de columna menor, dentro de los pixels de menor fila. La variable dir almacenará el movimiento previo a lo largo de la frontera del pixel previo al actual:

$dir = 3$ (4-conectividad)

$dir = 7$ (8-conectividad)

2. Buscar en la vecindad del pixel actual, en dirección contraria a las manecillas del reloj, comenzando por:

$(dir + 3) \bmod 4$ (4-conectividad)

$(dir + 7) \bmod 8$, si dir es par (8-conectividad)

$(dir + 6) \bmod 8$, si dir es impar (8-conectividad)

El primer pixel encontrado es el siguiente de la frontera, P_i .

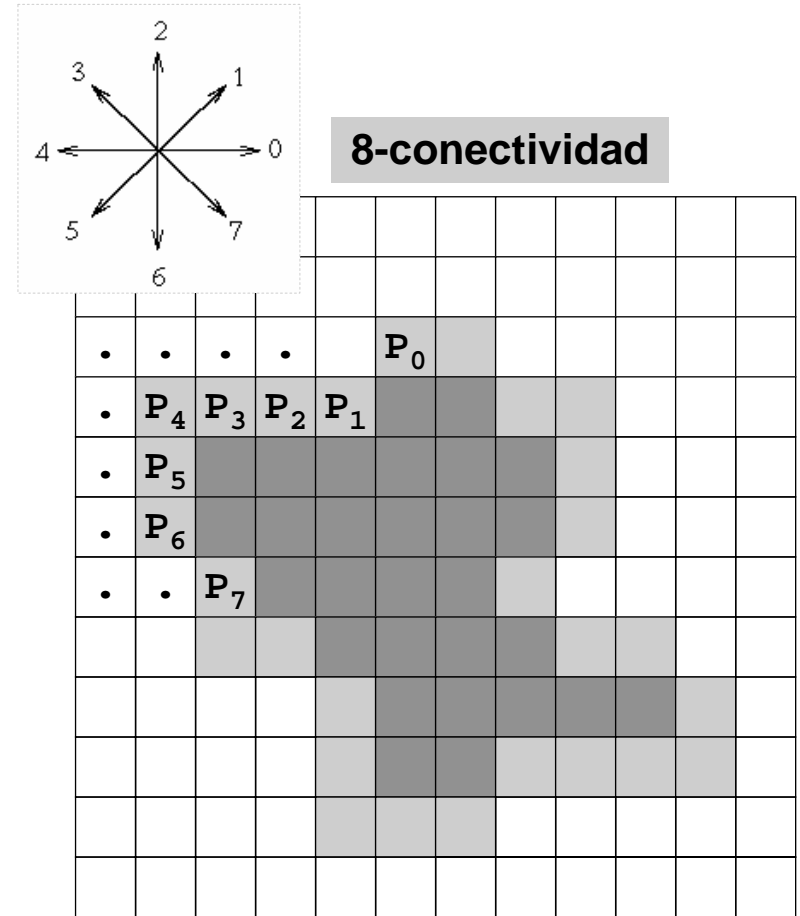
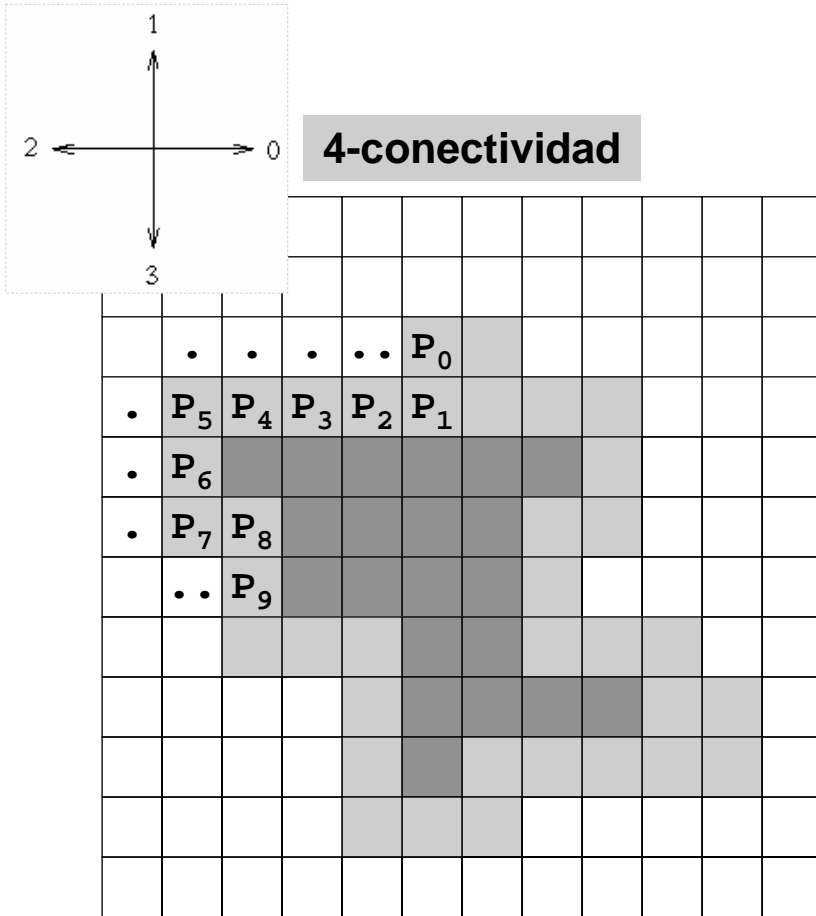
Actualizar dir

3. Si $(P_i = P_1) \wedge (P_{i-1} = P_0)$, fin. Dlc, paso 2.

4. Los pixels $P_0 \dots P_{n-2}$ constituyen la frontera.



Perímetro

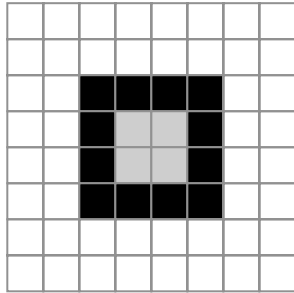


- Válido para regiones de más de un pixel.
- 4-conectividad: lados adyacentes a la frontera
- 8-conectividad: pixels adyacentes a la frontera

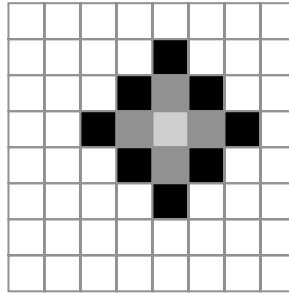


Perímetro

- **Cálculo** del perímetro:
 - ¿pixels de la frontera?
 - ¿lados adyacentes con la frontera?
- La digitalización produce una gran variación en el valor del perímetro.

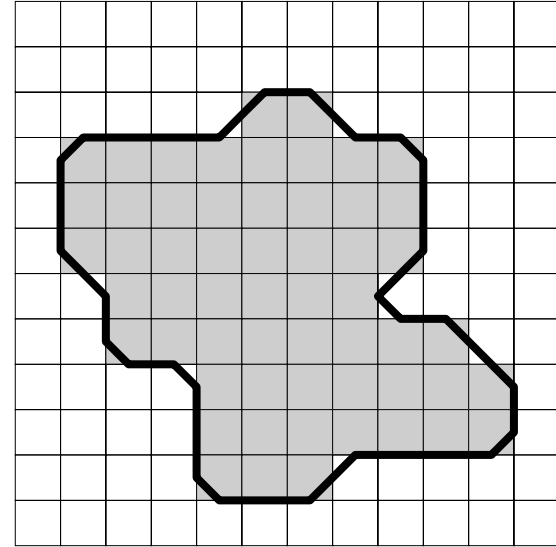


$$\begin{aligned} 8-p &= 12 \\ 4-p &= 12 \\ 1 &= 16 \end{aligned}$$



$$\begin{aligned} 8-p &= 8 \\ 4-p &= 12 \\ 1 &= 20 \end{aligned}$$

- Este efecto se puede mitigar “cortando” las esquinas:



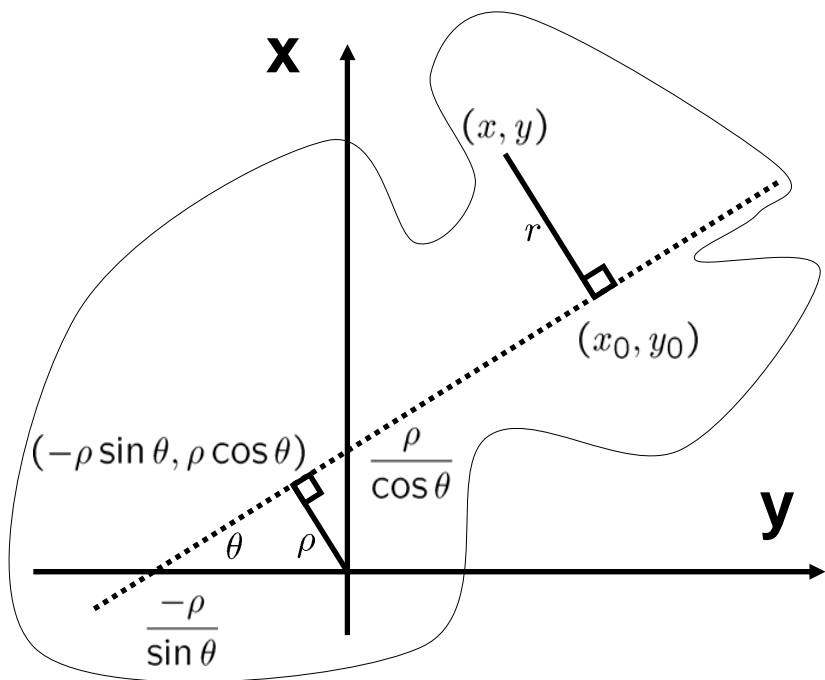
N_h fronteras horizontales
 N_v fronteras verticales
 N_c esquinas

$$P = S_x N_h + S_y N_v - \frac{S_x + S_y - \sqrt{S_x^2 + S_y^2}}{2} N_c$$

¿qué pasa con los agujeros?

Orientación

- **Eje de mínima inercia:** de mínimo momento de orden 2.
- ¿qué formas tienen infinitos?
- ¿cuáles tienen varios?



- **Obtención:** recta que minimiza las distancias² a los puntos del objeto (regresión total)

- Recta en coordenadas polares:

$$\rho = x \cos \theta + y \sin \theta$$

- Distancia:

$$r^2 = (x \cos \theta + y \sin \theta - \rho)^2$$

- Minimizar:

$$\begin{aligned} \chi^2 &= \sum r_{ij}^2 \\ &= \sum (j \cos \theta + i \sin \theta - \rho)^2 \end{aligned}$$

- Derivar con respecto a ρ :

$$\begin{aligned} \frac{\partial \chi^2}{\partial \rho} &= \sum 2(j \cos \theta + i \sin \theta - \rho)(-1) \\ &= \cos \theta \sum j + \sin \theta \sum i - \rho \sum 1 \\ &= 0 \end{aligned}$$

- El eje pasa por el centroide:

$$\rho = \bar{j} \cos \theta + \bar{i} \sin \theta$$



Orientación

- Minimizar:

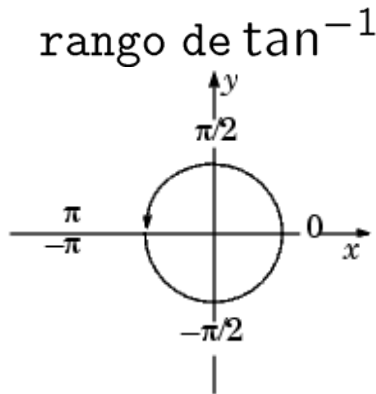
$$\begin{aligned}\chi^2 &= \sum r_{ij}^2 \\ &= \sum (j \cos \theta + i \sin \theta - \bar{j} \cos \theta - \bar{i} \sin \theta)^2\end{aligned}$$

- ...

- Solución:

$$\theta = \frac{1}{2} \cdot \tan^{-1} \left(\frac{2\mu_{1,1}}{\mu_{2,0} - \mu_{0,2}} \right)$$

- Hay ambigüedad en el sentido:



$$\theta \in \left[-\frac{\pi}{2}, \frac{\pi}{2}\right]$$

~~`atan()` returns the arc tangent of `x` in the range `-p/2` to `p/2`.~~

Cuidado con la implementación de esta solución (ver `atan2`).

Elongación, compacticidad

- **Elongación:** medida a partir de la desigualdad:

$$E = \frac{P^2}{A} \geq 4\pi$$

P: perímetro

A: área

- **Compacticidad:**

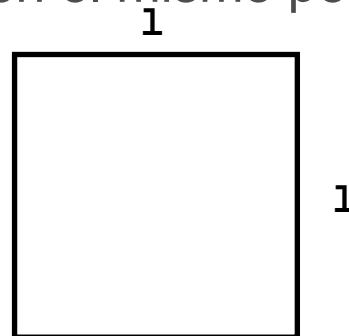
$$C = \frac{4\pi}{E} = \frac{4\pi A}{P^2} \leq 1$$

- El círculo es la figura convexa de mínima elongación (más compacta):

$$E =$$

$$C =$$

- Una región menos elongada (más compacta) contiene un área mayor en el mismo perímetro:



$$E = \frac{(4l)^2}{l^2} = 16$$

$3^{1/2}$



$$E = \frac{(4l)^2}{\frac{3l^2}{4}} = 64/3$$

- Es adimensional



No. de Euler (Género)

- No. de Componentes - No. de agujeros:

$$Eu = C - H$$

3 B 9

$$Eu = ?$$

- Descriptor **topológico** invariante.
- Su medición no presenta error aleatorio.

- Sin embargo, es muy sensible al ruido:



$$Eu = -3!$$

- Alternativa: calcular el área de los agujeros